

Л.В. ДЕРБУНОВИЧ, док. техн. наук. проф. каф. АУТС НТУ «ХПИ»,
О.Н. ТЕПЛИНСКАЯ, аспирант НТУ «ХПИ» (г. Харьков)

СИНТЕЗ ЦИФРОВЫХ УСТРОЙСТВ НА СДВИГОВЫХ РЕГИСТРАХ

У статті представлений метод синтезу пристрій на зсувних реєстрах (ЗР) заданих таблицями переходів (ТП) автоматних моделей. Метод заснован на процедурі аналізу ТП з метою побудови графа бінарних відповідностей станів і знаходження π -розділіття з властивостями бі-відображення, що забезпечує реалізацію пристрію з мінімальним числом ЗР.

This paper presents a new technique for design of sequential machine on the shift registers (SR). The method is based on finding state assignment, that allows realizing digital circuits on SR.

Постановка задачи. В області логического проектирования цифровых устройств существует множество подходов и предложений, направленных на создание легко тестируемых устройств. Ведущими фирмами производителями СБИС разработаны рекомендации, которые в настоящее время представлены стандартами проектирования: IEEE1149.1+4 "Standard Test Access Port and Boundary-Scan Architecture" (стандартный тест-порт и архитектура границного сканирования) и IEEE P1500 "Standard for Embedded Core Test" (стандарт встроенных средств тестового диагностирования). Основной принцип методов тестопригодного проектирования схем заключается в сканировании входных и выходных данных в режиме тестового диагностирования СБИС. В этом режиме внутренние элементы памяти реконфигурируются в сдвигово-регистровые цепи, что обеспечивает возможность наблюдения их состояний на выходах стандартных тест-портов. Поэтому разработка методов синтеза цифровых устройств с использованием минимального числа сдвиговых регистров (СР) в качестве элементов памяти устройства является актуальной задачей.

Анализ литературы. В [1] определены подходы к реализации много-тактных цифровых устройств со сдвигом входных, выходных и неявных состояний, что дает возможность реализации схем на СР. В монографии [2] предложена процедура реализации конечного автомата, заданного таблицей переходов-выходов, на сдвиговом регистре. Однако проблема нахождения условий реализуемости не полностью разрешена. В [3] предложен алгоритм синтеза конечных автоматов на СР для класса последовательностных схем, которые реализуются на одном СР.

Цель статьи. Заключается в разработке метода синтеза цифровых устройств с использованием минимального числа СР в качестве элементов памяти на основе анализа графа бинарных соответствий и разбиений состояний автоматной модели со свойствами би-отображений.

Метод синтеза. В общем случае последовательностная схема (ПС) может быть реализована на “ K ” сдвиговых регистрах R_1, R_2, \dots, R_k (рис. 1), которые состоят из сдвигово-регистровых цепей триггеров размерностью r_1, r_2, \dots, r_k , соответственно. Если N – число состояний автоматной модели цифрового устройства, то для создания сдвигово-регистровой ПС должно выполняться условие: $\lceil \log_2 N \rceil \leq (r_1 + r_2 + \dots + r_k) = n$, где $(r_1 + r_2 + \dots + r_k) = n$ – арифметическая сумма числа триггеров в сдвиговых регистровых цепях R_1, R_2, \dots, R_k , а $\lceil \log_2 N \rceil$ – означает наименьшее целое число, большее или равное $\lceil \log_2 N \rceil$.

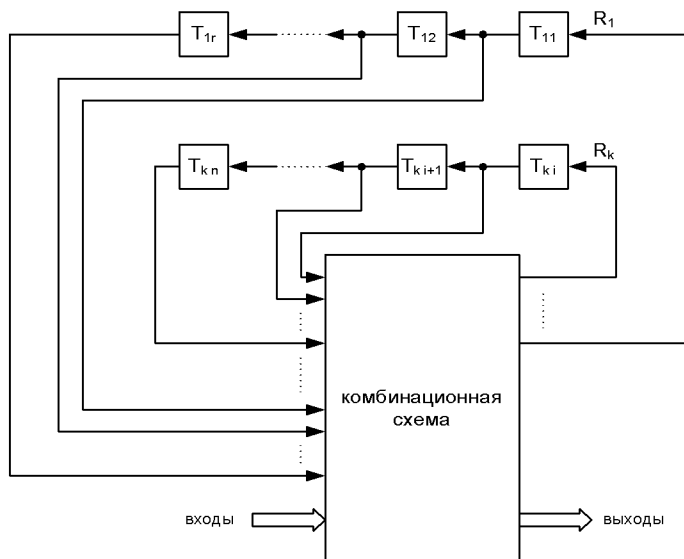


Рис. 1. Реализация последовательностной схемы на “ K ” сдвиговых регистрах

Очевидно, что когда $K=n$, то каждая сдвигово-регистровая цепь состоит из одного триггера и структура последовательностной схемы является обобщенной структурой автомата Мили с “ n ” функциями возбуждения входов каждого триггера.

Задача синтеза ПС на сдвиговых регистрах, которая рассматривается в настоящем разделе, формулируется следующим образом. Задана автоматная модель устройства и n -максимальное число переменных состояний, а значит, триггеров, которые кодируют N состояний автомата. Необходимо найти способ кодирования состояний, который бы минимизировал число “ K ” СР цепей, а следовательно, минимизировал бы комбинационную часть ПС.

Пусть задан автомат, таблица переходов которого представлена табл. 1. Автомат задан только функциями переходов.

Таблица 1

$z(t)$	$z(t+1)$	
	$x = 0$	$x = 1$
z_1	z_1	z_6
z_2	z_4	z_4
z_3	z_6	z_6
z_4	z_3	z_3
z_5	z_7	z_3
z_6	z_2	z_5
z_7	z_2	z_2

Таблица 2

Q_1	Q_2	Q_3	$Q_1 Q_2 Q_3 (t+1)$	
			$x = 0$	$x = 1$
0	0	0	0 0 0	1 0 0
1	1	0	0 1 1	0 1 1
0	0	1	1 0 0	1 0 0
0	1	1	0 0 1	0 0 1
0	1	0	1 0 1	0 0 1
1	0	0	1 1 0	0 1 0
1	0	1	1 1 0	1 1 0

Для кодирования множества внутренних состояний автомата $Z=\{z_1, z_2 \dots z_7\}$ достаточно использовать три переменных состояния, а, следовательно, три триггера Q_1, Q_2, Q_3 для реализации заданного автомата последовательностной схемой. Пусть выбран вариант кодирования состояний автомата, который представлен кодированной таблицей переходов (табл. 2).

Функции возбуждения элементов памяти последовательной схемы, представленные в минимальной дизъюнктивной нормальной форме, находятся из карт Карно (рис. 2).

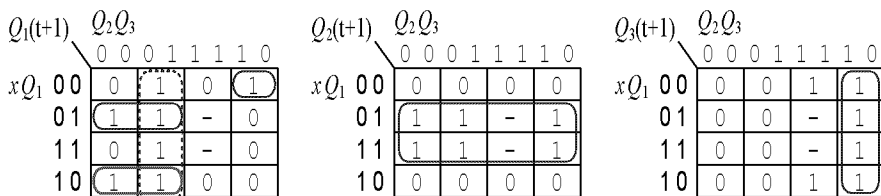


Рис. 2. Карты Карно функций возбуждения триггеров ПС

Если в качестве элементов памяти использовать D -триггеры, то функции возбуждения D -входов представляются в виде:

$$D_1 = Q_1(t+1) = \overline{Q_2}Q_3 + \bar{x}Q_1Q_2 + x\overline{Q_1}\overline{Q_2} + \bar{x}Q_1\overline{Q_2}Q_3 \quad (1)$$

$$D_2 = Q_2(t+1) = Q_1; \quad D_3 = Q_3(t+1) = Q_2.$$

Реализация автомата последовательной схемой представлена на рис. 3.

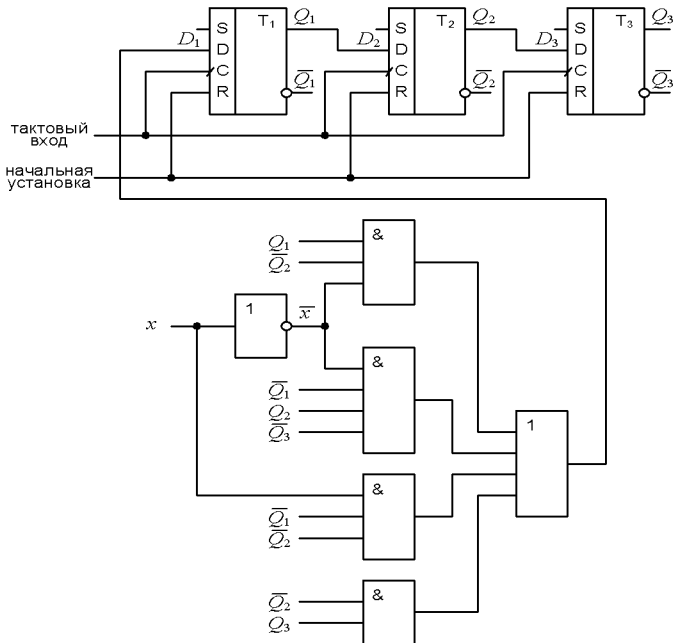


Рис. 3. Реализация автомата ПС на сдвиговом регистре

Комбинационная схема на рис. 3 реализует только одну функцию возбуждения триггера T_1 , что в результате может обеспечить более экономную реализацию ПС. Три триггера T_1, T_2, T_3 образуют трехразрядный сдвиговый регистр в соответствии с уравнением (1). Реализация автомата на рис. 3 соответствует структуре ПС на одном сдвиговом регистре.

Проведем анализ варианта кодирования состояний автомата, который обеспечил его реализацию ПС на одном сдвиговом регистре. Анализируя столбцы текущих состояний элементов памяти, кодирование переменных Q_2 и Q_3 (табл. 2) можно представить двухблочевыми разбиениями, которые соответствуют 0 и 1 значениям переменных в виде:

$$\begin{aligned}\pi(Q_2) &= \left\{ \frac{B_1(Q_2)}{z_1 z_3 z_6 z_7}, \frac{B_2(Q_2)}{z_2 z_4 z_5} \right\} \\ \pi(Q_3) &= \left\{ \frac{B_1(Q_3)}{z_1 z_2 z_5 z_6}, \frac{B_2(Q_3)}{z_3 z_4 z_7} \right\}\end{aligned}\quad (2)$$

Можно убедиться в том, что между парами разбиений $\pi(Q_2)$ и $\pi(Q_3)$ существует определенная связь. Из табл. 1 и разбиений состояний (2) получаем:

$$\begin{aligned}\delta(z_1, 0) &= z_1; \quad \delta(z_1, 1) = z_6; \\ \delta(z_3, 0) &= z_6; \quad \delta(z_3, 1) = z_6; \\ \delta(z_6, 0) &= z_2; \quad \delta(z_6, 1) = z_5; \\ \delta(z_7, 0) &= z_2; \quad \delta(z_7, 1) = z_2;\end{aligned}\tag{3}$$

Из таблицы переходов автомата и соотношений между текущими состояниями и их состояниями преемниками с учетом (2) и (3) построим графы бинарных соответствий состояний, входящих в блоки разбиений $\pi(Q_2)$ и $\pi(Q_3)$, которые изображены на рис. 4.

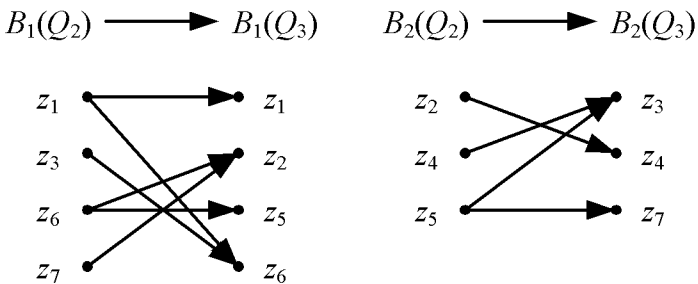


Рис. 4. Графы бинарных соответствий разбиений $\pi(Q_2)$ и $\pi(Q_3)$

Из рис. 4 следует, что текущие состояния, принадлежащие блоку $B_1(Q_2)$ имеют состояния преемники, входящие в блок $B_1(Q_3)$, для каждого входного символа, а состояния, входящие в блок $B_2(Q_2)$ имеют состояния преемники, входящие в блок $B_2(Q_3)$. Таким образом, имеет место биективное отображение блоков разбиения $\pi(Q_2)$ в блоки разбиения $\pi(Q_3)$, которое будем называть для краткости *би-отображением* разбиений $\pi(Q_2) \rightarrow \pi(Q_3)$, что можно представить в виде:

$$\begin{aligned}\pi(Q_2) &= \left\{ \overline{B_1(Q_2)}, \overline{B_2(Q_2)} \right\} \\ &\quad \downarrow \qquad \downarrow \\ \pi(Q_3) &= \left\{ \overline{B_1(Q_3)}, \overline{B_2(Q_3)} \right\}\end{aligned}\tag{4}$$

Следует отметить, что блоки разбиения $\pi(Q_3)$ не имеют свойства обратного би-отображения на блоки разбиения $\pi(Q_2)$.

Из рис. 4 и би-отображений (4) можно выделить разбиения π_a и π_b , которые строго меньше разбиений $\pi(Q_2)$ и $\pi(Q_3)$, но также обладают свойствами би-отображения:

$$\begin{aligned}\pi_a &= \left\{ \frac{B_1}{z_1 z_3}, \frac{B_2}{z_2}, \frac{B_3}{z_4 z_5}, \frac{B_4}{z_6 z_7} \right\} \\ &\quad \downarrow \quad \downarrow \quad \downarrow \quad \downarrow \\ \pi_b &= \left\{ \overline{z_1 z_6}, \overline{z_4 z_3 z_7}, \overline{z_2 z_5} \right\}\end{aligned}\tag{5}$$

Блоки разбиения π_c также не имеют свойства обратного би-отображения на блоки разбиения π_a .

Сдвигово-регистровая цепь формируется в том случае, когда состояния триггера Q_i определяет функцию возбуждения последующего триггера схемы $Q_{(i+1)}$ в виде:

$$Q_{(i+1)}(t+1) = Q_i(t)\tag{6}$$

Для выбранного варианта кодирования таблицы переходов каждой переменной состояния Q_i соответствует двухблоковое разбиение, в котором каждый блок включает 0-ые или 1-ые значения Q_i . Из рассмотренного примера реализации автомата, заданного таблицей 1 и варианта кодирования его состояний в соответствии с табл. 2, следует, что $Q_3(t+1) = Q_2(t)$, если блоки разбиения $\pi(Q_2)$ и $\pi(Q_3)$ имеют свойство би-отображения. В общем случае справедливо следующее утверждение.

Утверждение 1. Два триггера последовательностной схемы Q_i и $Q_{(i+1)}$ образуют сдвигово-регистровую цепь тогда и только тогда, когда блоки разбиения $\pi(Q_i)$ $\pi(Q_{i+1})$ имеют свойство би-отображения для всех букв входного алфавита.

Пусть n – число триггеров, необходимых для реализации заданного автомата последовательностной схемой. Для реализации ПС на сдвиговом регистре необходим такой способ кодирования внутренних состояний автомата, чтобы двухблоковые разбиения для каждой переменной состояния $\{\pi_1, \pi_2, \dots, \pi_g\}$, где $g \leq n$, удовлетворяли бы условию:

$\{\pi_1 \cdot \pi_2 \dots \cdot \pi_g\} = \pi(0)$ и пары разбиений $\{\pi_i, \pi_{i+1}\}$, $i = \overline{1, q}$ имели свойство би-отображения.

Из кодированной таблицы переходов автомата (табл. 2) получаем двухблоковые разбиения переменных состояния в виде:

$$\begin{aligned}\pi_1 &= \pi(Q_1) = \left\{ \overline{z_1 z_3 z_4 z_5}, \overline{z_2 z_6 z_7} \right\} \\ \pi_2 &= \pi(Q_2) = \left\{ \overline{z_1 z_3 z_6 z_7}, \overline{z_2 z_4 z_5} \right\} \\ \pi_3 &= \pi(Q_3) = \left\{ \overline{z_1 z_2 z_5 z_6}, \overline{z_3 z_4 z_7} \right\}\end{aligned}\quad (7)$$

Произведения разбиений

$$\pi_1 \cdot \pi_2 \cdot \pi_3 = \left\{ \overline{z_1}, \overline{z_2}, \overline{z_3}, \overline{z_4}, \overline{z_5}, \overline{z_6}, \overline{z_7} \right\} = \pi(0) \quad (8)$$

и разбиение $\{\pi_1, \pi_2\} \{\pi_2, \pi_3\}$ имеют свойство би-отображения. Реализация данного автомата последовательностной схемой на одном СР является оптимальной, так как используется лишь один трехразрядный СР.

Однако, остается решить задачу нахождения двухблочных разбиений состояний автомата со свойствами би-отображения и удовлетворяющих условию (8).

Возвращаясь к разбиениям π_a и π_e (5), отметим, что эти разбиения со свойствами би-отображения содержат минимальное число элементов в каждом блоке разбиения и получены в результате анализа состояний преемников текущих состояний и пар состояний. Объединяя блоки разбиений π_a и π_e в различных комбинациях в двухблочные разбиения, получим множество таких разбиений, которые представлены в табл. 3.

Из таблицы 3 видно, что двухблочные разбиения $(\pi_{11}, \pi_{21}), (\pi_{21}, \pi_{22})$ и т.д. обладают свойством би-отображения. Кроме того, разбиения π_{32} и π_{41} – эквивалентны ($\pi_{32} = \pi_{41}$), а последовательность разбиений $\pi_{31} \rightarrow (\pi_{32} = \pi_{41}) \rightarrow \pi_{42}$ имеет свойство би-отображений и произведение этих разбиений $\pi_{31} \cdot \pi_{32} \cdot \pi_{42} = \pi(0)$. Эти разбиения соответствуют разбиениям $\pi(Q_1) = \pi_{31}, \pi(Q_2) = \pi_{32}, \pi(Q_3) = \pi_{42}$ в (7) и определяют коды состояний автомата, приведенные в таблице 4, которые обеспечивают реализацию его последовательностной схемой на одном сдвиговом регистре (рис. 3).

Таблица 3

$\pi_{11} = \left\{ \overline{z_1 z_3}, \overline{z_2 z_4 z_5 z_6 z_7} \right\}$	$\pi_{12} = \left\{ \overline{z_1 z_6}, \overline{z_2 z_3 z_4 z_5 z_7} \right\}$
$\pi_{21} = \left\{ \overline{z_1 z_2 z_3}, \overline{z_4 z_5 z_6 z_7} \right\}$	$\pi_{22} = \left\{ \overline{z_1 z_4 z_6}, \overline{z_2 z_3 z_5 z_7} \right\}$
$\pi_{31} = \left\{ \overline{z_1 z_3 z_4 z_5}, \overline{z_2 z_6 z_7} \right\}$	$\pi_{32} = \left\{ \overline{z_1 z_3 z_6 z_7}, \overline{z_2 z_4 z_5} \right\}$
$\pi_{41} = \left\{ \overline{z_1 z_3 z_6 z_7}, \overline{z_2 z_4 z_5} \right\}$	$\pi_{42} = \left\{ \overline{z_1 z_2 z_5 z_6}, \overline{z_3 z_4 z_7} \right\}$
$\pi_{51} = \left\{ \overline{z_1 z_2 z_3 z_4 z_5}, \overline{z_6 z_7} \right\}$	$\pi_{52} = \left\{ \overline{z_1 z_3 z_4 z_6 z_7}, \overline{z_2 z_5} \right\}$
$\pi_{61} = \left\{ \overline{z_1 z_2 z_3 z_6 z_7}, \overline{z_4 z_5} \right\}$	$\pi_{62} = \left\{ \overline{z_1 z_2 z_4 z_5 z_6}, \overline{z_3 z_7} \right\}$
$\pi_{71} = \left\{ \overline{z_1 z_3 z_4 z_5 z_6 z_7}, \overline{z_2} \right\}$	$\pi_{72} = \left\{ \overline{z_1 z_2 z_3 z_5 z_6 z_7}, \overline{z_4} \right\}$

Таблица 4

Состояния	$\pi(Q_1)$	$\pi(Q_2)$	$\pi(Q_3)$
z_1	0	0	0
z_2	1	1	0
z_3	0	0	1
z_4	0	1	1
z_5	0	1	0
z_6	1	0	0
z_7	1	0	1

Выводы. Предложен метод синтеза ПС на СР, основанный на анализе таблицы переходов ПС, графов бинарных соответствий и би-отображений π -разбиений состояний автоматной модели ПС.

Список литературы: 1. Девятков В.В. Методы реализации конечных автоматов на сдвиговых регистрах. – М.: Энергия, 1974. – 72с. 2. Фридман А., Менон П. Теория проектирования переключательных схем. – М.: Мир, 1978. – 654с. 3. Derbunovich L., Suzdal V., Sobolev A., Tatarenko D. “Test Pattern Generators for Pseudo-Exhaustive Testing” East-West Design & Test International Conf., Alushta, Sept. 2003. 4. Дербунович Л.В., Клименко А.В. Алгоритм синтеза конечных автоматов на СР// Вестник НТУ “ХПИ”. – 2004. - №17. – 63-66с.

Поступила в редакцию 01.07.09